

Магнитное состояние и спиновый транспорт в эпитаксиальных гетероструктурах манганит / рутенат

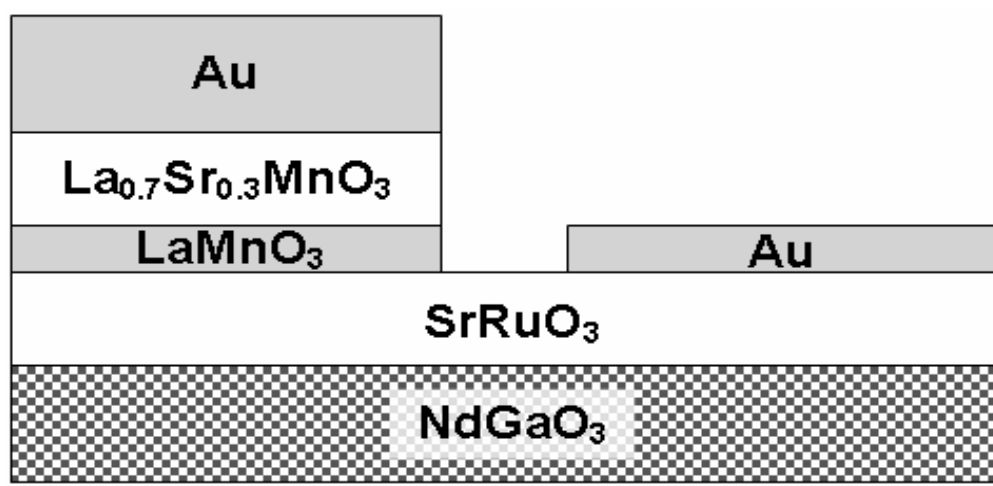
А.М. Петржик¹, Ю. Хайдуков³, Г.А. Овсянников^{1,2}, А.В. Шадрин^{1,2} и Л. Мустафа³

1. ИРЭ им. В.А. Котельникова РАН, Москва, Россия; 2. Чалмерский технологический университет, Гетеборг, Швеция; 3. Институт исследования твёрдых тел общества Макса Планка, Штутгарт, Германия

Цель работы

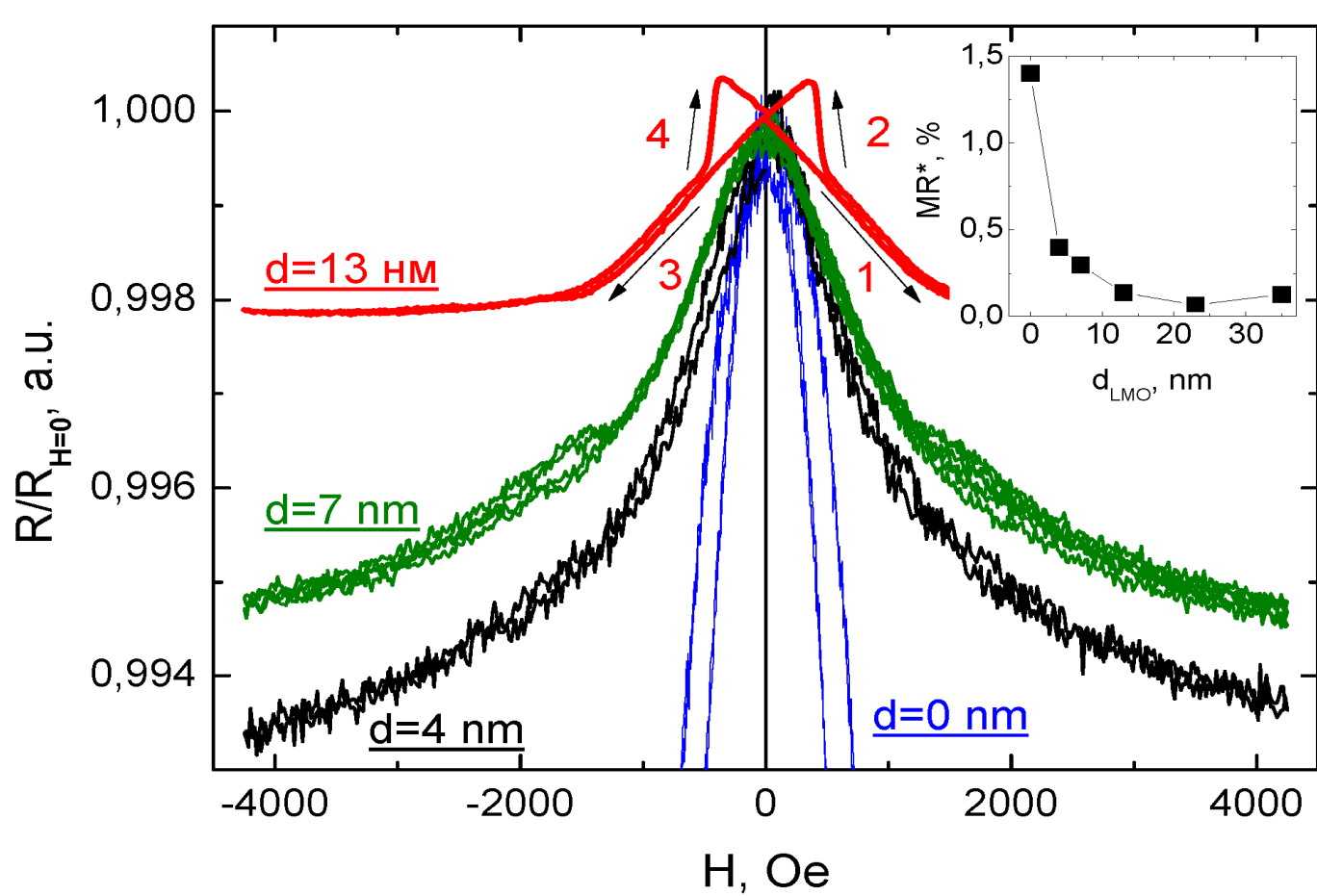
Выяснить роль прослойки LaMnO_3 в туннельном контакте FM1-I-FM2, который возможно применять, например, в энергонезависимой магнитной памяти. Согласно [1] это позволит уменьшить мёртвый слой и улучшить качество границы по сравнению с традиционным SrTiO_3 .

Экспериментальные образцы

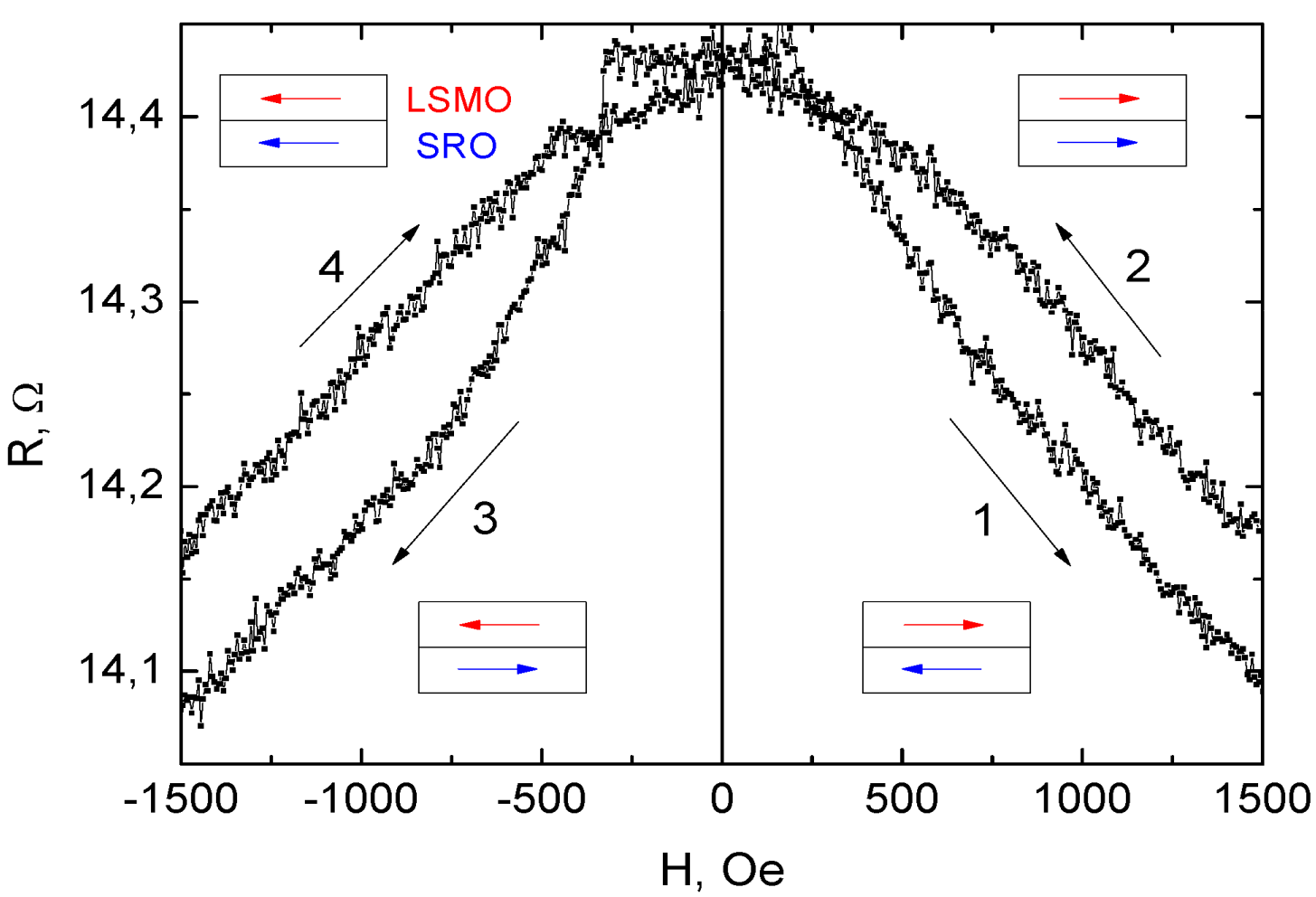


Лазерным напылением и последующим травлением создан туннельный переход FM1-I-FM2, где F1 - $\text{La}_{0.7}\text{Sr}_{0.3}\text{MnO}_3$ (LSMO), I - LaMnO_3 (LMO), FM2 - SrRuO_3 (SRO). Слои LSMO и SRO в приграничной области AF при $H=0$ и FM при $H \neq 0 \Rightarrow$ возникает TMR. Толщина "разделяющего" слоя LMO, регулирующего связь между двумя ферромагнетиками $d_{\text{LMO}} = 0 \dots 35 \text{ нм}$.

Магнитосопротивление



Кривые магнитосопротивления меза-структуры с толщинами $d_{\text{LMO}} = 0, 4, 7, 13 \text{ нм}$ при $T = 4.2 \text{ К}$. На вставке $\text{MR}^*(d_{\text{LMO}})$, $\text{MR}^* = (R_{H=0} - R_{H=0.1 \text{ Тл}}) / R_{H=0}$.



Магнитосопротивление $R(H)$ для меза-структуры без LMO прослойки ($d_{\text{LMO}} = 0$).

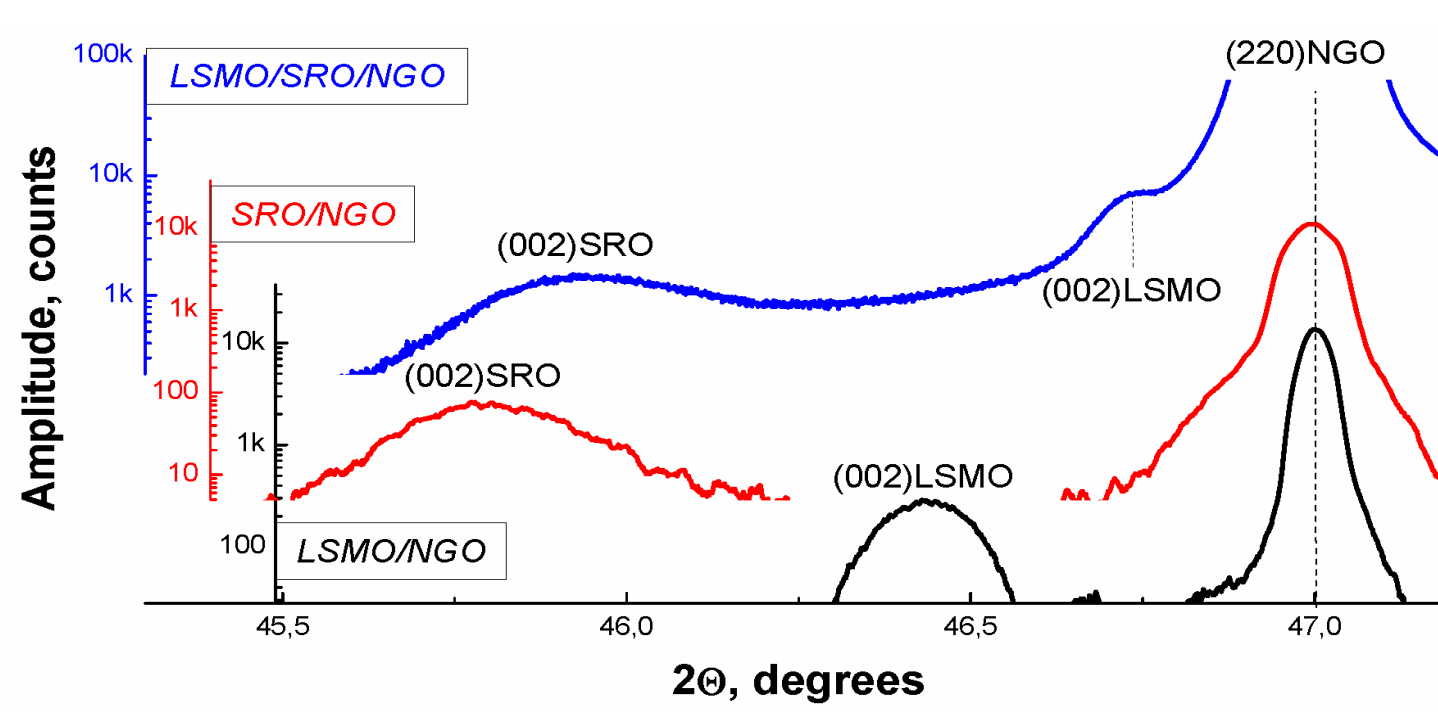
Выводы

- С помощью нейтронных исследований в прослойке LaMnO_3 толщиной 14 нм обнаружен магнитный момент в плоскости подложки при $T < 150 \text{ К}$.
- СКВИДом экспериментально наблюдается снижение намагниченности при уменьшении температуры ниже 100 К в структуре LSMO/LMO/SRO/NGO.
- Магнитосопротивление меза-структуры LSMO/LMO/SRO/NGO уменьшается с увеличением толщины прослойки LMO, однако при толщине прослойки в 13 нм наблюдается гистерезис по магнитному полю в полях порядка сотен Эрстед. В отсутствие LMO прослойки зависимость $R(H)$ имеет иной вид: наблюдается магнитосопротивление, вызванное отрицательной намагниченностью SRO пленки.

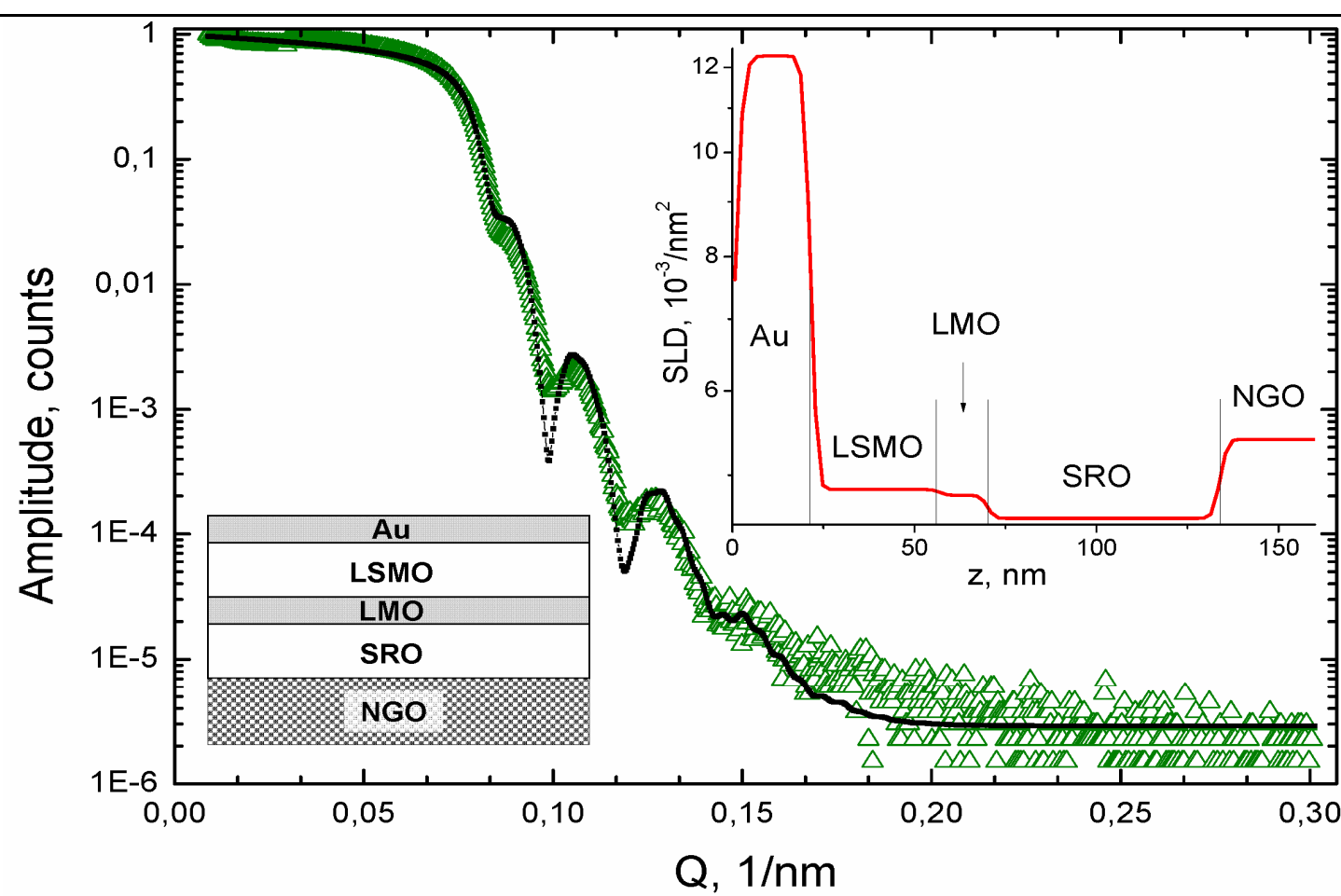
Литература

- S. Yunoki, E. Dagotto, S. Costamagna and J. A. Riera Phys. Rev B 78, 024405 (2008);
- A. Gukasov, Physica B 267-268(1999) 97-105.

Рентген

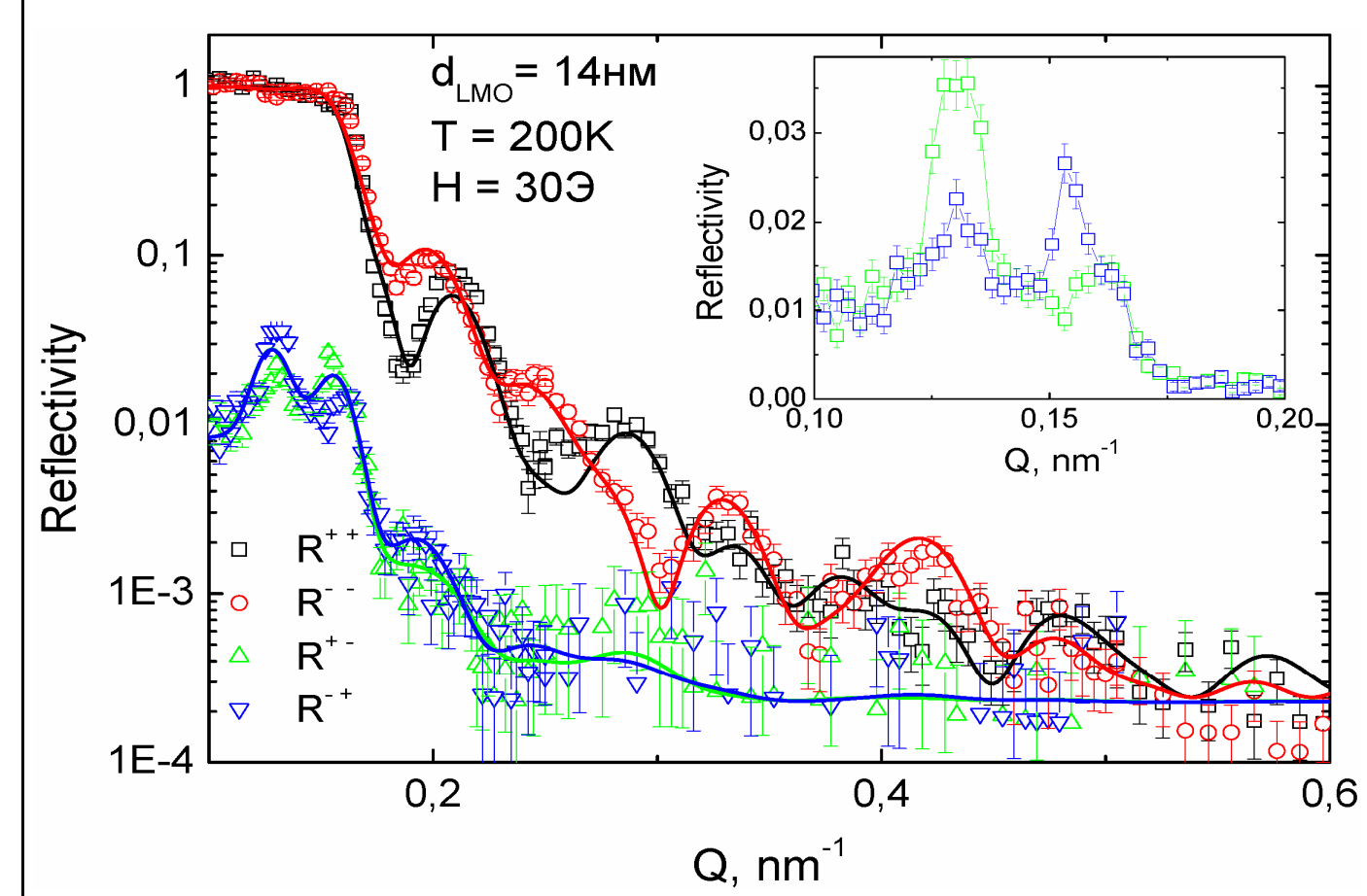


Рентгеновские дифрактограммы в режиме берегового отражения для гетероструктуры LSMO/LMO/SRO, автономных SRO и LSMO плёнок. Подложка (110)NGO.

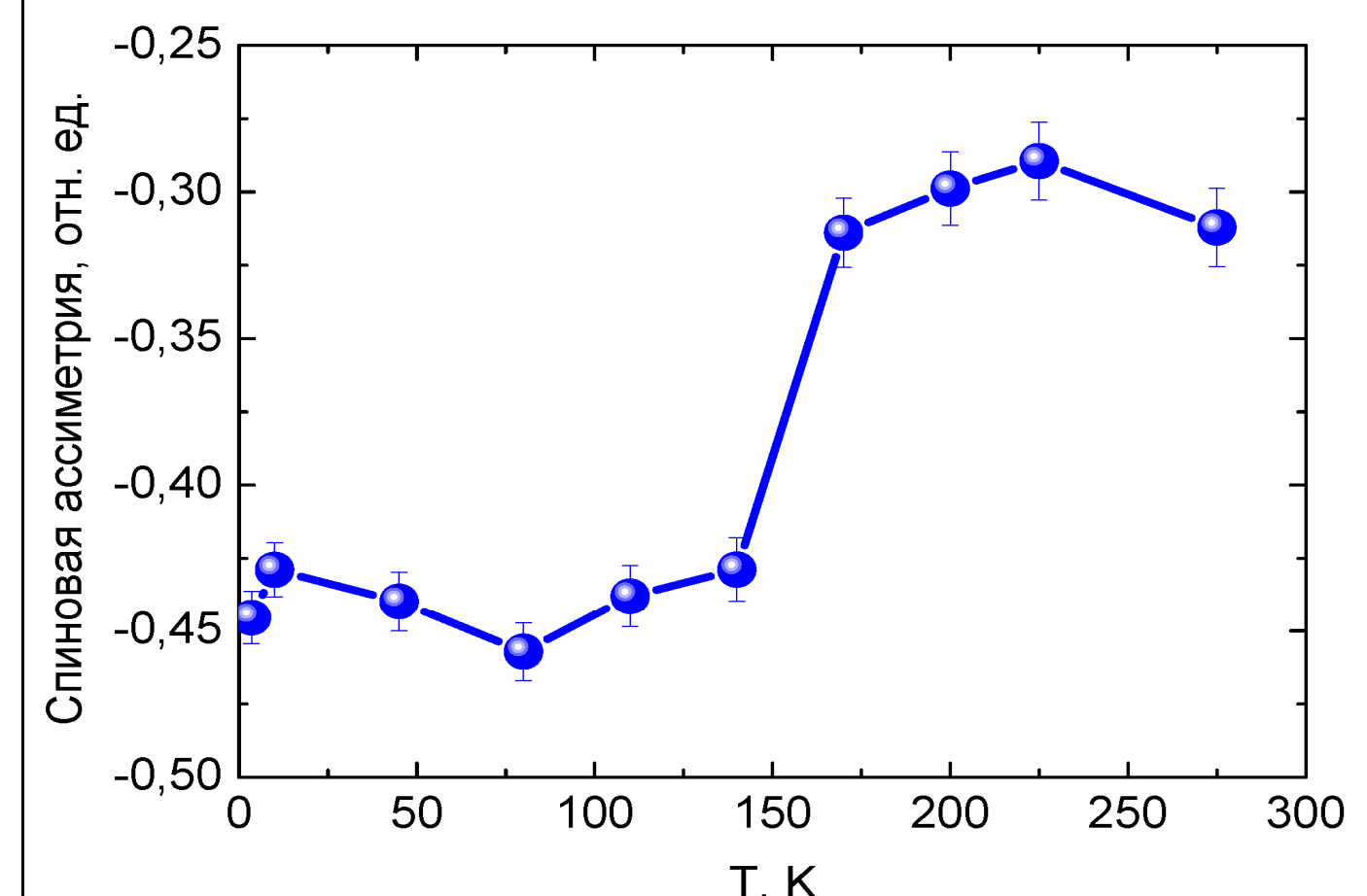


Зависимость кривых малоуглового рентгеновского отражения для гетероструктуры LSMO/LMO/SRO с $d_{\text{LMO}} = 13 \text{ нм}$ от вектора Q . Треугольники – эксперимент, точки – теоретическая зависимость, предполагающая следующие толщины Au/LSMO/LMO/SRO: 21/36/13/64 нм соответственно. На вставке показан профиль плотности длины рассеяния (scattering length density - SLD) от Q -вектора.

Поляризованные нейтроны

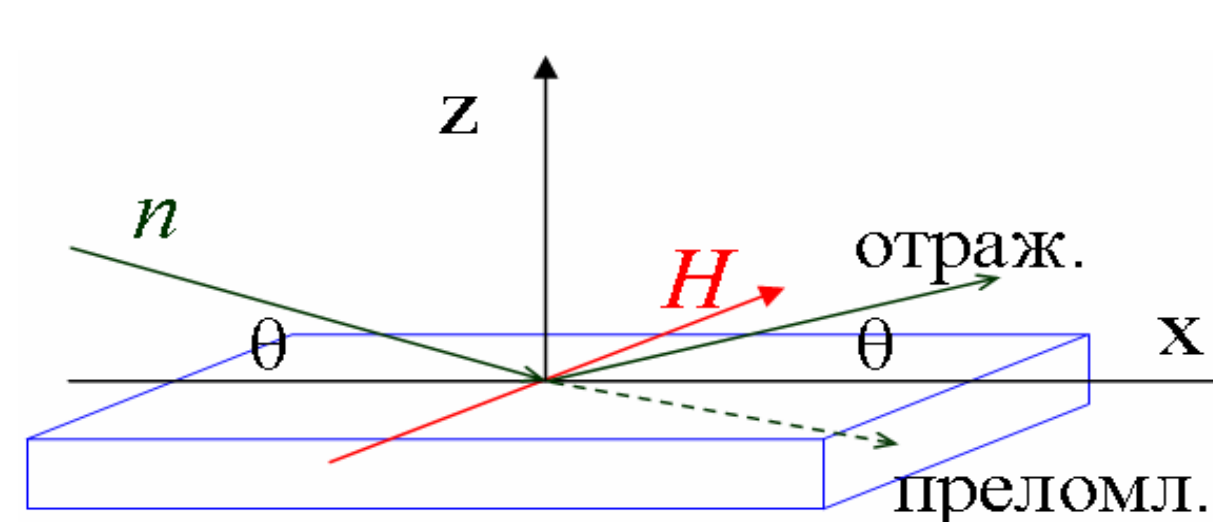


Гетероструктура с 14 нм LMO. Расчёт даёт: $4\pi M_{\text{LSMO}} = 5 \pm 0.03 \text{ кГс}$ ($2.7 \mu_B/\text{Mn}$), $\alpha_{\text{easy axis}} = 10^\circ$.



Увеличение спиновой асимметрии $SA = (R^{++} - R^{--}) / (R^{++} + R^{--})$ ниже 150 К предположительно вызвано появлением магнитного момента в LMO прослойке: $4\pi M_{\text{LMO}} = 4.2 \text{ кГс}$ ($2.4 \mu_B/\text{Mn}$) при 10 К. Нейтронные измерения были проведены на рефлектометре NREX. реактора ФРМ-II.

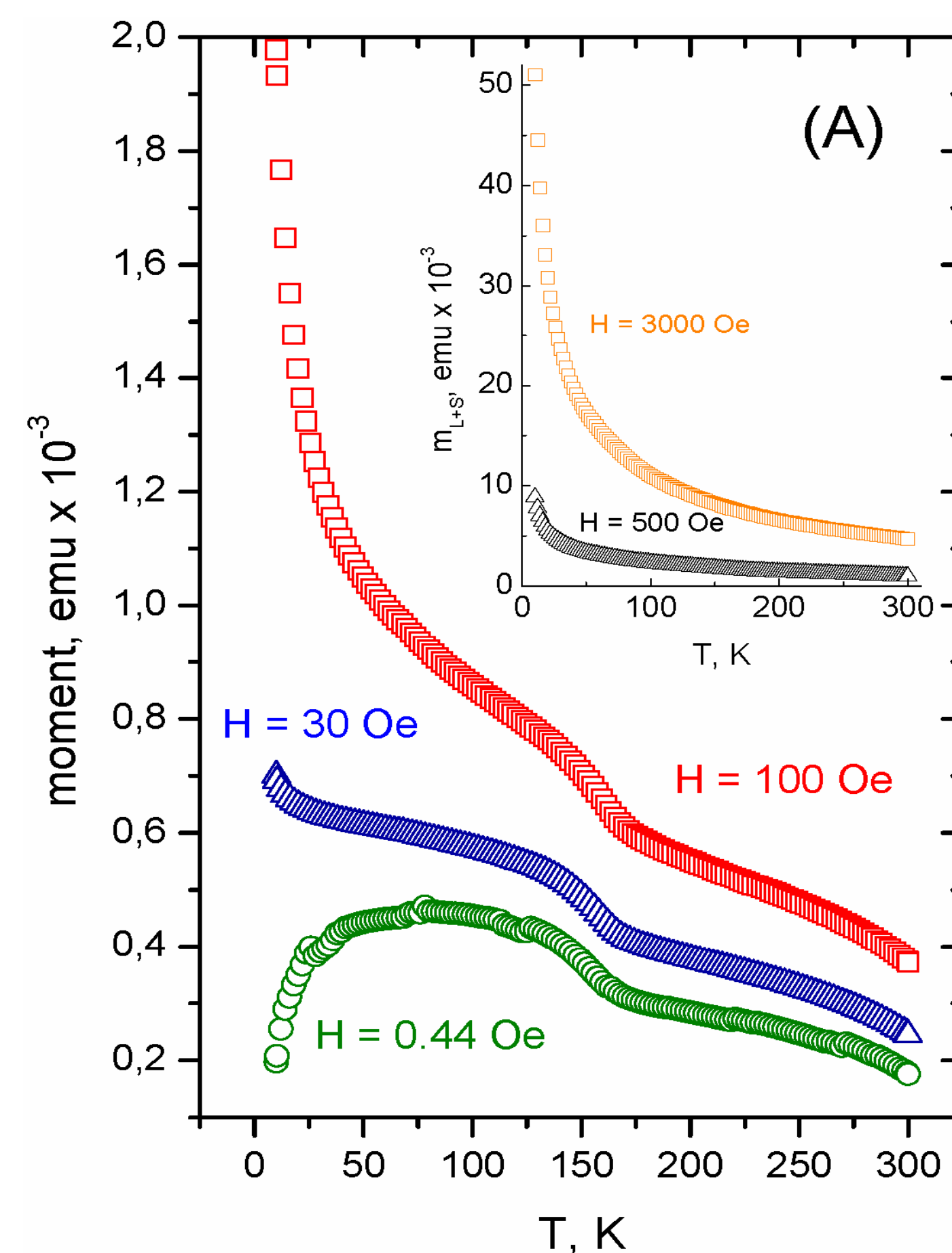
Методика нейтронного эксперимента



Вектор рассеяния $|\vec{q}| = |\vec{k}_{\text{отраж}} - \vec{k}_{\text{пад}}| = \frac{4\pi}{\lambda} \sin \theta$
 Коэффициент преломления $n = \sqrt{1 - \frac{\lambda^2}{\pi} Nb}$
 N - атомная плотность, b - ядерная длина рассеяния

Кривые рассеяния "Reflectivity"
 $R^{++} \sim |\text{SLD}(z) + M_{\parallel}(z)|$
 $R^{--} \sim |\text{SLD}(z) - M_{\parallel}(z)|$
 $SA \sim M_{\parallel}(z)$
 $R^+ \sim R^- \sim M_{\perp}(z)$
 ++, --, +-, -+ - знаки проекции нейтрона на внешнее поле до и после рассеяния.

СКВИД измерения



(A) Магнитный момент в плоскости подложки в зависимости от температуры для гетероструктуры LSMO/LMO/SRO/NGO с $d_{\text{LMO}} = 14 \text{ нм}$. Считая, что при 3000 Э вклада от парамагнитной NGO сильно выше вклада от плёнок, можно определить магнитный момент плёнок (см. рисунок C). (B) Магнитный момент в плоскости подложки в зависимости от магнитного поля для гетероструктуры LSMO/LMO/SRO/NGO с $d_{\text{LMO}} = 14 \text{ нм}$ при 10 и 300 К.

